

研究论文

DL-111-1T对雌鼠肝脏及人羊膜细胞混合功能氧化酶活性的选择性诱导

刘志强 林志英 孙 路 余应年

(浙江医科大学药学系, 杭州310006)

摘要 以抗早孕药 3-(2-ethylphenyl)-5-(3-methoxyphenyl)-1H-1,2,4-triazole(DL-111-1T) 20 mg/(kg.d) 预处理 ♀大鼠 2 d, 即可使动物肝微粒体 MFO 与 UDPGT 达到稳态诱导, 其诱导特征为多环芳烃型。以 0.1 μmol/L DL-111-1T 与人羊膜 FL 细胞孵育 24 h, 可使细胞内 AHH 活性诱导增高 3.5 倍左右, 此诱导能力三倍于 PB, 但仅为 3-MC 的 1/2 左右, 即 DL-111-1T 对人羊膜 FL 细胞中依赖于 P-448 的 MFO 呈现中等程度的选择性诱导作用。UDS 试验则证明 DL-111-1T 本身无致突变性。

关键词 细胞色素 P-450; 致突变试验; 非程序 DNA 合成 (UDS); 3-(2-乙基苯基)-5-(3-甲氧基苯)-1H-1,2,4-三唑

前文⁽¹⁾报道了抗早孕药 DL-111-1T [3-(2-ethylphenyl)-5-(3-methoxyphenyl)-1H-1,2,4-triazole] 对 ♂ Sprague-Dawley 大鼠肝微粒体混合功能氧化酶 (MFO) 和尿苷二磷酸葡萄糖醛酸基转移酶 (UDPGT) 的多环芳烃型诱导作用。鉴于该药将在临上用于抗早孕, 本文研究了 DL-111-1T 对 ♀大鼠肝微粒体药物代谢酶诱导的量效和时效关系, 以及体外对人羊膜细胞 FL 系中芳烃羟化酶 AHH 的诱导活性, 以求为 DL-111-1T 安全性评价提供生化毒理学依据。

材 料 与 方 法

动物为 Sprague-Dawley ♀大鼠 153±17g, 由本校动物房供应。以 ip DL-111-1T 菜油溶液 20, 40 或 80 mg/kg.d 连续 4 d, 或 ip 20 mg/kg.d 连续 1, 2 或 4 d 预处理大鼠, ip 以等量菜油的大鼠作空白对照, ip 苯巴比妥钠 (PB) 80 mg/(kg.d) × 4 d, 以及 ip 3-甲基胆蒽 (3-MC) 20 mg/(kg.d) × 3 d 大鼠作阳性对照。测定动物睡眠时间时, 于末次给药后 24 h 给大鼠 ip 环己巴比妥 50 mg/kg, 测定给药后动物翻正反射消失延续时间, 每组动物不少于 5 只。大鼠肝微粒体 MFO 和 UDPGT 催化活性体外测定时, 每组动物不少于 3 只, 末次给药后禁食 24 h 将大鼠断头处死, 取冰冷 NS 灌流后肝脏按文献⁽²⁾制备肝微粒体。微粒体制备物的蛋白质浓度、细胞色素 P-450 (P-450) 含量、对硝基苯甲醚脱甲基酶活性、还原态 P-450-Metyrapone (甲吡酮) 结合物生成量、AHH 活性、及

本文于1988年6月2日收到。

国家自然科学基金资助课题

*本文为浙江医科大学病理生理教研室

UDPGT 缓合吗啡和 1-萘酚催化活性等的测定分别参照文献^(1,3~8)报道的方法。

人羊膜细胞 FL 系由我校病理生理教研室在液氮中保存，并以生长用培养基传代维持。培养方法详见文献⁽⁹⁾。体外诱导实验时，于细胞（初始密度约 $10^4/\text{ml}$ ）生长 96 h 后，弃去培养基，用 HBSS 漂洗后，加入含不同浓度不同诱导剂的生长培养基，37°C 下继续培养 24 h，用 HBSS 再次漂洗诱导后细胞，并加入 0.02% EDTA, 37°C 下消化 15 min，重复上述洗涤操作两次，最后用少量 pH 7.4 Tris-HCl 缓冲溶液稀释洗涤后离心沉淀的细胞，按 Lowry 等⁽³⁾方法测定所得细胞悬液的蛋白质含量，以相同的缓冲溶液将上述悬液稀释至蛋白质浓度为 1~2 mg/ml，按 Atlas 等⁽¹⁰⁾方法测定其 AHH 活性。

DL-111-1T 由意大利 Lerner 教授馈赠；NADP、NADPH、苯骈芘 (a)、3-MC 与 UDPGA 等购自 Sigma 公司；3-羟基苯骈芘由美国化学致癌原标准库赠送；甲吡酮系 Aldrich 产品；Eagle 氏 MEM 培养基购自日本日水制药株式会社。

肝微粒体悬浮液的光谱测定用 Pye Unicam 8800 分光光度计，日立 MPF-4 荧光分光光度计和 Beckman 327 型 HPLC 仪分别用于 AHH 和 UDPGT 催化活性测定。

结 果

一、DL-111-1T 对♀大鼠 MFO 的选择性诱导 ip DL-111-1T 80 mg/(kg·d)×4 d 组、PB 组和 3-MC 组大鼠的肝微粒体 P-450 含量、环己巴比妥睡眠时间、还原态 P-450-甲吡酮络合物生成量、以及 DL-111-1T 组 AHH 活性等的变化如图 1 所示。图中♂大鼠数据取自文献⁽¹⁾。

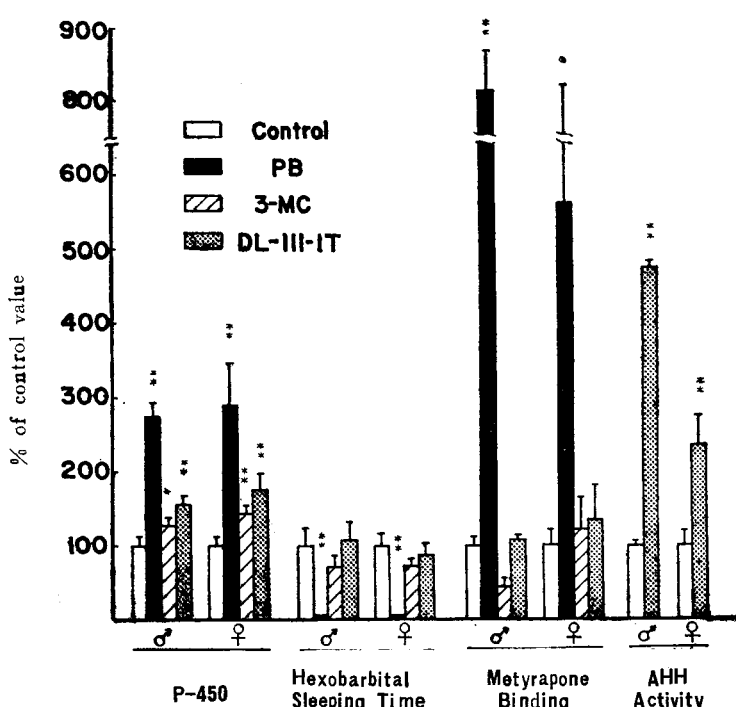


Fig 1. Induction of MFO activities in rat hepatic microsomes by DL-111-1T, PB and 3-MC.
** $p < 0.01$; * $p < 0.05$. Control value for ♀ rats: P-450 = $0.81 \pm 0.11 \text{ nmol/mg}$ microsomal protein;
Hexobarbital sleeping time = $3.5 \pm 6 \text{ min}$; Metyrapone binding = $4.3 \pm 1.3 \Delta \text{A/g}$ microsomal protein;
AHH activity was expressed as relative fluorescence strength (fluorospectrophotometer for control was
 48.3 ± 10.5). Values are expressed as $\bar{x} \pm SD$.

ip DL-111-1T 80 mg/kg.d 预处理♀大鼠 4 d 后，与 3-MC 预处理结果相似，动物的环己巴比妥睡眠时间、以及还原态 P-450-甲毗酮络合物生成量均无显著变化，而 AHH 活性却显著增高。上述选择性诱导特征和 PB 预处理后的结果明显不同，即 DL-111-1T 对♀大鼠也呈现多环芳烃型的药酶诱导作用，此结果与用♂大鼠⁽¹⁾所作的实验相同。

二. DL-111-1T 诱导肝微粒体 MFO 和 UDPGT 活性时的量效和时效关系

以不同剂量 DL-111-1T 预处理♀大鼠后，动物肝微粒体的 P-450 含量对硝基苯甲醚脱甲基酶活性、AHH 活性、UDPGT 缔合吗啡和 1-萘酚的能力、以及还原态 P-450-CO 络合物吸收峰波长等的变化列于表 1。

Tab 1. Induction of hepatic Microsomal MFO and UDPGT by DL-111-1T (different dose × d) in female rats ($\bar{X} \pm SD$)

| Pretreatment with DL-111-1T mg/(kg.d) × d | P-450 | p-Nitroanisole demethylase activity | AHH | UDPGT activity towards Morphine 1-naphthol | Peak wavelength of P-450-CO |
|---|--------------------|-------------------------------------|----------|--|-----------------------------|
| | % of control value | | | | |
| Vehicle × 4 | 100±14 | 100±47 | 100±22 | 100±1 | 100±30 |
| 80 × 4 | 175±21** | 314±62** | 237±40** | 101±2 | 117±70** |
| 40 × 4 | 143±14** | 237±48** | 239±34** | 101±1 | 117±50** |
| 20 × 4 | 165±27* | 222±48** | 219±41** | 102±4 | 120±190 |
| 20 × 2 | 143±14** | 269±60** | 153±30** | 101±1 | 110±50* |
| 20 × 1 | 112±18 | 169±58 | 129±18 | 102±3 | 108±60 |

**P<0.01, *P<0.05. Control value for ♀ rats: P-450 and AHH activity refer to Fig 1; p-nitroanisole demethylase activity=0.44±0.12 nmol/min·mg microsomal protein; UDPGT activities were expressed as relative peak height in HPLC traces.

由表 1 可见，DL-111-1T 能选择性诱导增高♀大鼠肝微粒体 UDPGT 缔合平面型底物能力，并使还原态 P-450-CO 络合物吸收峰波长明显短移，再次证明 DL-111-1T 对♀大鼠肝脏 MFO 及 UDPGT 呈多环芳烃型诱导作用。以 ip 菜油 × 4 d 的大鼠为基准作统计分析表明，除 ip 20 mg/(kg.d) × 1d 组外，其余不同剂量、不同预处理天数组大鼠肝微粒体 P-450 含量、对硝基苯甲醚脱甲基酶和 AHH 活性，以及 UDPGT 缔合 1-萘酚的能力均有显著性增高。ip 20 mg/(kg.d) × 4 d 组 UDPGT 缔合 1-萘酚的能力与对照组相比 $0.05 < p < 0.10$ ，其原因可能是实验误差或动物个体差异较大。若以 ip 20 mg/(kg.d) × 2 d 为基准作统计分析，则增加诱导剂量或时间，除 AHH 活性仍有上升趋势($P < 0.05$)外，其余指标不再有显著性变化，即 ip 20 mg/(kg.d) × 2d DL-111-1T 已足以使♀大鼠肝脏 MFO 与 UDPGT 达到稳态诱导。

三. DL-111-1T 对人羊膜 FL 细胞 AHH 的诱导

1 μmol/L 3-MC 和不同浓度 DL-111-1T 对 FL 细胞 AHH 活性的诱导作用见表 2。

表 2 数据表明，DL-111-1T 浓度为 0.1 μmol/L 时，其诱导作用最强（当浓度继续增高时，细胞 AHH 活性下降，这或许是高浓度 DL-111-1T 影响了细胞正常生长所致），可使 FL 细胞 AHH 活性诱导增高 3.5 倍左右，但仅为 3-MC 的一半，后者可使 FL 细胞 AHH 活性诱导增高约 9 倍。

Tab 2. Induction of AHH activity in human amnion FL cell by DL-111-1T

| Type of inducer | Concentration of inducer ($\mu\text{mol/L}$) | AHH activity fmol/min·mg protein |
|-----------------|---|-------------------------------------|
| None | | 148(141~155)* |
| DL-111-1T | 0.001 | 358 |
| | 0.01 | 482(506~458) |
| | 0.1 | 663(694~632) |
| | 1 | 581(599~563) |
| | 10 | 485(511~459) |
| | 100 | 211 |
| 3-MC | 1 | 1,446(1,410~1,482) |

* \bar{X} (range of two measurements).

讨 论

在检验化学品致突变（致癌）性的短期试验方法中，程序外 DNA 合成（UDS）试验法，是一公认的、有实用价值的短期方法。UDS 试验系统中，常用人体某些细胞系作指示系统，以使 UDS 试验结果更接近于人体实际情况。

生长迅速和培养方便的人上皮细胞系——人羊膜 FL 细胞，似可用作 UES 试验中理想的指示生物体。但 FL 细胞中 AHH 活性在传代培养过程中丢失很快，为使 FL 细胞能成为 UDS 试验中有效的指示体，用 FL 细胞作 UDS 试验前，必须对其 AHH 先作诱导。实验⁽¹¹⁾证明，将 FL 细胞与多环芳烃型诱导剂共孵育 24 h，待其 AHH 活性达稳态诱导后，此 FL 细胞便可用作 UDS 试验中的有效指示系统。然而，为使 UDS 试验结果单一地反映被检物的致突变（致癌）性，所用的多环芳烃型药酶诱导剂本身必须无致突变性。遗憾的是，至今可供选用的、本身无致突变性的多环芳烃型药酶诱导剂品种极少。

本文结果提示，人羊膜 FL 细胞可用来区分药酶诱导剂的诱导特性：如 PB 对人羊膜 FL 细胞 AHH 活性的诱导能力仅为 3-MC 的 1/6 左右⁽¹¹⁾，而-DL-111-1T 对 FL 细胞 AHH 活性的诱导能力为 3-MC 的一半，即为 PB 的 3 倍，从而表明 DL-111-1T 对人羊膜 FL 细胞中依赖于 P-448 的 AHH 呈中等程度的多环芳烃型诱导作用。用 DL-111-1T 对 FL 细胞作 UDS 试验后，结果（数据见表 3，详细内容另文报道）表明，DL-111-1T 本身不会诱发 FL 细胞的 UDS，故 DL-111-1T 似可在用 UDS 研究化学品的致突变（致癌）性时用作无致突变性的 P-448 诱导剂。

尽管 DL-111-1T 本身不会诱发 UDS，鉴于♀大鼠 ip 20 mg/(kg·d) DL-111-1T × 2 d 后，其肝脏 MFO 活性已被选择性地诱导增高至稳态水平，同时 DL-111-1T 对人羊膜 FL 细胞 AHH 活性也有明显诱导作用，故在临床用药时似仍需顾及可能发生的药物交互作用。

Tad 3. Unscheduled ^3H -Tdr incorporation in the acid-insoluble fraction of ^{14}C -Tdr-prelabelled and synchronized β -NF induced human amnion FL cell exposed to DL-111-1T, B(a)P, MNNG and vehicle(DMSO)

| Concentration (mol/L) | DL-111-1T | Relative | $^3\text{H}/^{14}\text{C}^*$ |
|--------------------------|-----------|------------|------------------------------|
| | | B(a)P | MNNG |
| 0 | 1.00±0.04 | 1.00±0.04 | 1.00±0.04 |
| 10^{-9} | 1.09±0.07 | | |
| 10^{-8} | 1.02±0.02 | | |
| 10^{-7} | 1.10±0.04 | | |
| 10^{-6} | 1.00±0.03 | | |
| 10^{-5} | 0.92±0.01 | 1.63±0.38* | 2.60±0.38** |
| 10^{-4} | | 1.73±0.49* | |

a. ±XSD, * p<0.05, ** p<0.01, n≥3

参 考 文 献

- 1 刘志强, 等. 一种新的多环芳烃型药物代谢酶诱导剂——抗早孕药 DL-111-1T. 药学学报 1987;22:575.
- 2 Franklin MR, Estabrook RW. On the inhibitory action of mersalyl on drug oxidation: A rigid organization of the electron transport chain. *Arch Biochem Biophys* 1971;143:318.
- 3 Lowry OH, et al. Protein measurement with the Folin phenol reagent. *J Biol Chem* 1951;193:265.
- 4 Omura T, Sato R. The carbon monoxidebinding pigment of liver microsomes: I. Evidence for its hemoprotein nature. *Ibid* 1964; 239:2370.
- 5 Netter KJ, Seidel O. An adaptively stimulated O-demethylating system in rat liver microsomes and its kinetic properties. *J Pharmacol Exp Ther* 1964;146:61.
- 6 Mitani F, et al. Complex of cytochrome P-450 with metyrapone. A convenient method for the quantitative analysis of phenobarbital-inducible cytochrome P-450 in rat liver microsomes. *FEBS Lett* 1982;148:302.
- 7 Nebert DW. Genetic differences in microsomal electron transport: The Ah locus. In:Fleisher S, Packer L, eds. *Methods in enzymology*. vol 52. *Biomembranes Part C*, 1st ed. New York: Academic Press, 1978:220~40.
- 8 Liu ZQ(刘志强), Franklin MR. Separation of four glucuronides in a single sample by high-pressure liquid chromatography and its use in the determination of UDP glucuronyltransferase activity toward four aglycones. *Anal Biochem* 1984; 142:340.
- 9 Goto T, Weiehel RJ. Aryl hydrocarbon mono-oxygenase activity in human primary amnion cell-culture. *Europ J Cancer* 1980; 15:751.
- 10 Atlas SA, et al. Genetic control of interindividual variations in the inducibility of aryl hydrocarbon hydroxylase in cultured human lymphocytes. *Cancer Res* 1976; 36:4619.
- 11 Sun L (孙路), et al. A test using cultured cells with induced mixed-function oxygenase in the unscheduled DNA synthesis assay for detecting promutagens/procarcinogens. *Mutation Research* 1987; 191:45.

SELECTIVE INDUCING ABILITY OF DL-111-1T TOWARDS MIXED FUNCTION OXIDASE IN FEMALE RAT LIVER AND HUMAN AMNION FLUID CELL

ZQ Liu, ZY Lin, L Sun and YN Yu

(School of Pharmacy, Zhejiang Medical University, Hangzhou 310006)

ABSTRACT Following pretreatment of adult female rats with contrage-stational agent 3-(2-ethylphenyl)-5-(3-methoxyphenyl)-1H-1,2,4-triazol(DL 111-1T) 20 mg/kg.d for 2 consecutive days, the hepatic microsomal MFO and UDPGT activities were induced to a constant level, being characteristic of arylhydrocarbon type of induction. Coincubation of human amnion FL cell with 0.1 μmol/L of DL-111-1T for 24 h produced a 4.5-fold induction of AHH activity of the cell. This inducing ability was 3 times that of PB, but 1/2 that of 3-MC. According to these observations, DL-111-1T may also be considered as a polycyclic arylhydrocarbon type inducer toward human amnion FL cell's MFO which contains mainly of cytochrome P-448. UDS test showed that DL-111-1T itself could not induce UDS of FL cell.

Key words Cytochrome P-450; Mutagenic tests; Unscheduled DNA synthesis (UDS); 3-(2-Ethylphenyl)-5-(3-methoxyphenyl)-1H-1,2,4-triazol